

- [7] Jun hu M., Meirong T. // SPIE, Photo-mechanics and speckle metrology. 1987. V. 814. P. 136-140.
- [8] Волоконная оптика и приборостроение / Под ред. Бутусова М.М. Л.: Машиностроение, 1987. 328 с.

Поступило в Редакцию
30 октября 1990 г.

Письма в ЖТФ, том 17, вып. 2

26 января 1991 г.

06.1

© 1991

МОЛЕКУЛЯРНО-ПУЧКОВАЯ ЭПИТАКСИЯ (МПЭ)
GaAs НА *Si* (001) ПОВЕРХНОСТИ,
НАСЫЩЕННОЙ ВОДОРОДОМ

В.Г. А н т и п о в, С.А. Н и к и ш и н,
Д.В. С и н я в с к и й

Снижение температуры прогрева кремниевой подложки перед гетероэпитаксией в системе *GaAs/Si* является одной из задач, на решение которой направлены исследования последних лет. Применение химической обработки, обеспечивающей образование дигидридной поверхности фазы кремния [1, 2], по-видимому [3], является одним из путей решения указанной задачи.

В данной работе приведены результаты по МПЭ арсенида галлия на кремнии без использования традиционного [4, 5] высокотемпературного ($\geq 750^{\circ}\text{C}$) прогрева подложки непосредственно перед ростом.

Применялись стандартные *Si* подложки, ориентированные в направлении [100] с точностью не хуже (± 20)'. Предварительная химическая обработка подложек, аналогичная [2, 6], сводилась к следующей последовательности: 1) отмыка в толуоле и ацетоне; 2) окисление в кипящей HNO_3 ; 3) травление в HF ; 4) формирование тонкого окисла в смеси $\text{HCl} + \text{H}_2\text{O}_2 + \text{H}_2\text{O}$; 5) отмыка в воде. Операции 3 и 4 повторялись несколько раз. После отмычки в воде подложка помещалась в тефлоновый держатель, установленный на центрифуге, обеспечивавшей скорость вращения более 1000 об/мин. Во время сушки подложки на ее поверхность периодически подавались капли раствора плавиковой кислоты в этиловом спирте. Применение аналогичной обработки по данным [2] обеспечивает образование на поверхности подложки защитной фазы дигидрида кремния.

Затем подложка на молибденовом держателе передавалась в камеру накопления образцов установки МПЭ ЭП-1301, в которой поддерживалось давление не более $(5-7) \cdot 10^{-8}$ Па.

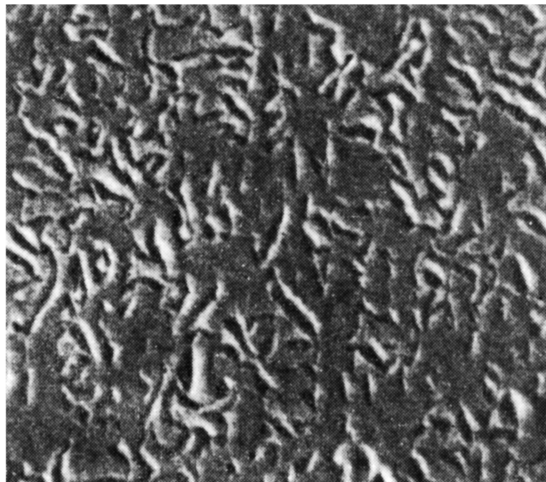


Рис. 1. Фотография поверхности пленки GaAs на $\text{Si}(001)$, выращенной по первому режиму. Получена на электронном микроскопе при увеличении $\times 2000$.

Состав и структура поверхности подложек исследовалась в аналитической камере ЭП-1301 методами Оже-электронной спектропсии (ОЭС) и дифракции медленных электронов (ДМЭ) с помощью 4-х сеточного энергоанализатора с обратным обзором дифракционной картины [7]. По данным ДМЭ, поверхность подложек $\text{Si}(001)$, прошедших обработку в растворе плавиковой кислоты в этаноле, имела структуру (1×1) , что свидетельствовало об образовании дигидридной фазы кремния [2]. Интенсивность Оже-сигнала кислорода (510 эВ) была ниже уровня шумов спектрометра, что свидетельствовало об отсутствии оксидной фазы на поверхности Si . Соотношение интенсивностей (I) Оже-сигналов углерода C (272 эВ) и кремния Si (92 эВ) после указанной обработки составляло $(I_C/I_{Si})=(10^{-3}-10^{-5})$. Приведенное значение не превосходило величины (I_C/I_{Si}) , достигнутой нами при очистке Si подложек по методике [6], одной из стадий которой является прогрев подложки при температуре более $750\text{ }^{\circ}\text{C}$. Полученные данные ОЭС свидетельствовали о пригодности подложек Si к эпитаксиальному росту сразу после описанной выше химической обработки в растворе плавиковой кислоты в этаноле.

Выращивание GaAs на $\text{Si}(001)$ осуществлялось в установке ЭП-1301. Были применены два режима выращивания. В первом случае подложка прогревалась при температуре $\sim 200\text{ }^{\circ}\text{C}$ в течение нескольких десятков минут и охлажддалась до температуры $\sim 100\text{ }^{\circ}\text{C}$. Структура поверхности $\text{Si}(001)$ во время указанного прогрева и после него по данным дифракции отраженных быстрых электронов (ДОБЭ) сохранялась (1×1) . Затем на подложке выращивался

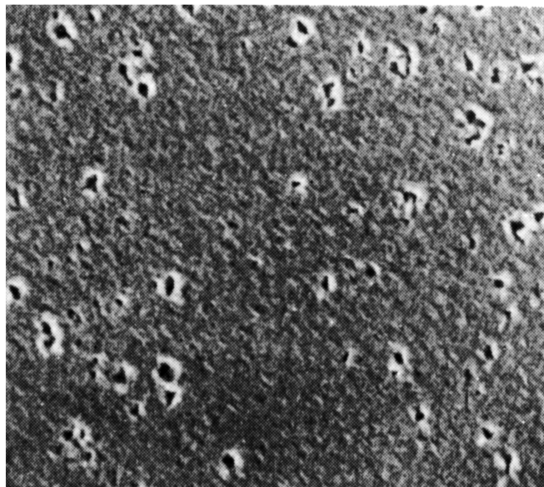


Рис. 2. Фотография поверхности пленки GaAs на Si (001), выращенной по второму режиму. Получена на электронном микроскопе при увеличении $\times 1000$.

аморфный слой GaAs со скоростью ~ 0.10 мкм/час при соотношении потоков $(J_{\text{As}_4} / J_{\text{Ga}}) \approx (20-30)$. Толщина аморфного слоя составляла $\sim (20-30)$ нм. Образование сплошного аморфного слоя GaAs идентифицировалось по отсутствию рефлексов и наличию интенсивного диффузного фона на картине ДОБЭ. Затем подложка со слоем нагревалась до температуры ~ 620 $^{\circ}\text{C}$ и выдерживалась в течение 20–30 минут вплоть до появления точечных рефлексов на экране ДОБЭ. При этом поток As_4 поддерживался на уровне $J_{\text{As}_4} = (1.5-3.5) \times 10^{15}$ ат/см 2 .с. Предварительная калибровка потоков и температуры подложки осуществлялась по методике [8]. Дальнейший рост слоя GaAs осуществлялся при температуре (600–630) $^{\circ}\text{C}$ в течение 3–3.5 ч при скорости роста ~ 1 мкм/ч и соотношении потоков $(J_{\text{As}_4} / J_{\text{Ga}}) \approx 2$. Затем подложка со слоем охлаждалась до комнатной температуры. По данным ДОБЭ, в этом режиме рост слоя сопровождался процессом двойникования. Поверхность выращенной пленки со структурой (2x2) имела морфологию типа „лимонная корка“ (рис. 1).

Во втором режиме выращивания, непосредственно перед МПЭ аморфного слоя GaAs , подложки Si проходили низкотемпературный (500–550 $^{\circ}\text{C}$) отжиг в ростовом модуле ЭП-1301. При этом фоновое давление мышьяка в области подложки не превышало 1×10^{-6} Па. Такой отжиг, по данным ДМЭ, ОЭС и ДОБЭ, приводит к перестройке Si (1x1) \rightarrow смесь доменов Si (2x1) и Si (1x2), обусловленной десорбией водорода, и сопровождается адсорбией мышьяка на поверхности подложки. После роста аморфного слоя GaAs , который осуществлялся при $(J_{\text{As}_4} / J_{\text{Ga}}) \approx (15-25)$ со скоростью ~ 0.2 мкм/ч в течение нескольких десятков минут, подложка

отжигалась при температуре ~ 620 °С. Затем температура подложки снижалась до (300–450) °С и выращивался слой *GaAs* толщиной (1.6–1.8) мкм при $(J_{As_4}/J_{Ga}) \approx 1.5$, который впоследствии также отжигался при температуре ~ 620 °С в течение нескольких десятков минут и $J_{As_4} = 2 \cdot 10^{15}$ ат/см² с. Дальнейший рост *GaAs* осуществлялся при температуре (580–600) °С в течение 1.5–2.5 ч со скоростью ~ 1 мкм/ч и $(J_{As_4}/J_{Ga}) = 1.5\text{--}2$. К моменту окончания роста структура поверхности слоя *GaAs* была с (4x4). При охлаждении под потоком *As₄* до комнатной температуры наблюдалась структурная перестройка поверхности с (4x4) → (2x2). Морфология поверхности слоя *GaAs*, полученная в этом режиме роста (рис. 2), была значительно лучше, чем в первом режиме, и соответствовала типичной морфологии поверхности *GaAs/Si* [9], получаемой при традиционной технологии МПЭ [4, 5, 10], в которой перед ростом аморфного слоя проводится высокотемпературный отжиг кремниевой подложки.

Таким образом, полученные данные свидетельствуют о перспективности применения подложек *Si* (001), поверхность которых насыщена водородом, для МПЭ в системе *GaAs/Si*.

Авторы благодарят В.Е. Уманского и С.Н. Михайлова за полезные обсуждения.

Список литературы

- [1] Gräf D., Grundner M., Schulz R. // J. Vac. Sci. Technol. 1989. A7. N 3. P. 808–813.
- [2] Fenner D.B., Biegelsen D.K., Bringans R.D. // J. Appl. Phys. 1989. V. 66. N 1. P. 419–424.
- [3] Sueimune I., Kumtsugu Y., Tanaka Y. et. al. // Appl. Phys. Lett. 1988. V. 53. N 22. P. 2173–2175.
- [4] Wang W.I. // Appl. Phys. Lett. 1984. V. 44. N 16. P. 1149–1151.
- [5] Бакин Н.Н., Борисенко Л.А. Гетероэпитаксия арсенида галлия на кремнии: Обзоры по электронной технике. Сер. 3, Микроэлектроника. Выпуск 4(1472). М.: ЦНИИ "Электроника", 1989.
- [6] Ishizaka A., Shiraki Y. // J. Electrochem. Soc. 1986. V. 133. N 4. P. 666–671.
- [7] Антипов В.Г., Большунов И.Б., Романов С.С. // ПТЭ. 1990. № 3.
- [8] Антипов В.Г., Бер Б.Я., Никишин С.А. и др. Тез. докл. (том В), 1 Всесоюз. конф. по физическим основам твердотельной электроники. 1989. Ленинград. С. 55.

- [9] Ueda T., Nishi S., Kawarada Y.
et. al. // Jap. J. Appl. Phys. 1986. V. 25. N 9.
P. L789-L791.
- [10] Varrrio J., Asoneen H., Lamm a-
sniem J. et. al. // Appl. Phys. Lett. 1989.
V. 55. N 19. P. 1987-1989.

Физико-технический
институт им. А.Ф. Иоффе
АН СССР, Ленинград

Поступило в Редакцию
26 апреля 1990 г.
В окончательной редакции
6 сентября 1990 г.

Письма в ЖТФ, том 17, вып. 2

26 января 1991 г.

04

© 1991

ВЛИЯНИЕ РАЗМЕРА ПЛАЗМЕННОГО ПОРШНЯ
НА ЭФФЕКТИВНОСТЬ
ЭЛЕКТРОДИНАМИЧЕСКОГО УСКОРЕНИЯ ТЕЛА

Э.М. Дробышевский, С.И. Розов,
Б.Г. Жуков, Р.О. Куракин,
В.М. Соколов

Эксперименты по электродинамическому ускорению тел массой $m \approx 1-2$ г плазменным поршнем (ПП) магнитоприжатого разряда рельсotronной конфигурации после начального участка, описываемого простой теорией (см., например, [1]), показывают насыщение скорости на уровне $V_c \approx 3.5-6$ мм/мкс [1-4]. Варьируя параметры разряда, мы нашли, что V_c нарастает как $\sim m^{1/2}$ вплоть до $m \approx 0.9$ г, но остается неизменным с увеличением силы тока I и его длительности Δt , с изменением погонной индуктивности электродов L' .

Причины насыщения скорости пока не ясны полностью. Обычно эффект связывают с изменением структуры ПП. Действительно, наблюдения канала разряда через (прозрачные) боковые диэлектрические стенки показывают расширение ПП вдоль ускорительного канала и даже постепенное смещение максимума свечения в нем назад по отношению к переднему фронту (рис. 1, а) (см. также [5]). Магнитные зонды показывают также отставание максимума плотности тока.

Казалось бы, если поршень непроницаем, само по себе перераспределение плотности тока ведет только к изменению распределения объемных пондеромоторных сил и соответствующего им газового